

# مقایسه‌ی آئرو دینامیک پیترز و تئودورسون در تعیین مرزهای ناپایداری آئرو الاستیک

حسن حدادپور (دانشیار)

سعید محمودخانی (دانشجوی دکتری)

دانشکده‌ی مهندسی هوافضا، دانشگاه صنعتی شریف

در این مطالعه مرز ناپایداری بال در رژیم جریان تراکم‌ناپذیر با استفاده از آئرو دینامیک پیترز استخراج و نتایج به دست آمده با آئرو دینامیک تئودورسون مقایسه شده بدین منظور ابتدا ضریب برا در حوزهی فرکانس برای حرکت رفت و برگشتی خالص نوسانی، و بر اساس الگوی آئرو دینامیکی پیترز، به دست آمده، رابطه‌ی به دست آمده از طریق رسم نمودار قسمت حقیقی و موهومی ضریب برا، برحسب فرکانس کاسته شده، با مقادیر به دست آمده از فرضیه‌ی تئودورسون مقایسه شد. نمودارهای حاصله بیانگر نزدیک شدن نتایج روش پیترز به روش تئودورسون، از طریق افزایش تعداد متغیرهای حالت آئرو دینامیکی است، به طوری که با پنج متغیر حالت آئرو دینامیکی بین نتایج تطابق قابل قبولی به چشم می‌خورد. در ادامه، روابط مربوط به ماتریس‌های جرم، میرایی و سختی آئرو دینامیکی الگوی پیترز به دست آمده برای استخراج این ماتریس‌ها از دو روش متداول مقطع معادل و فرض تیر، برای الگوسازی سازی بال استفاده شده. در پایان با توجه به معادلات دینامیکی به دست آمده از هر دو روش الگوسازی، پایداری و سرعت فلاپ برای دو مثال عددی با استفاده از روش  $k$  و  $D-k$  مورد بررسی قرار گرفت. مقایسه‌ی نتایج حاصله با مقادیر به دست آمده از فرضیه‌ی تئودورسون حاکی از نزدیکی قابل توجه بین دو فرضیه است.

haddadpour@sharif.edu  
s.mahmoudkhani@yahoo.com

واژگان کلیدی: جریان تراکم‌ناپذیر، فرضیه پیترز، فرضیه تئودورسون، ناپایداری آئرو دینامیکی.

## ۱. مقدمه

به منظور بررسی پدیده‌ی آئرو الاستیسیته، نظریه‌های مختلفی برای الگوسازی جریان آئرو دینامیک ناپایای حاکم ارائه شده است. الگوهای تحلیلی ارائه شده که به طور مرسوم برای جریان تراکم‌ناپذیر توسعه یافته‌اند به طور کلی در چهار دسته قرار می‌گیرند.<sup>[۱]</sup> دسته‌ی اول الگوهای آئرو دینامیکی در حوزهی فرکانس هستند که در آنها حرکت سازه و پارامترهای آئرو دینامیکی (مانند فشار و گردش<sup>۱</sup> جریان) به تالاب در نظر گرفته می‌شوند ( $e^{i\omega t}$ ). از جمله الگوهای ارائه شده از این نوع می‌توان به الگوی تئودورسون<sup>۲</sup> اشاره کرد که در آن، پاسخ فرکانسی نیروی «برای» آئرو دینامیکی برای جریان پتانسیل تراکم‌ناپذیر ارائه شده است.<sup>[۱]</sup> دسته‌ی دوم، الگوهای آئرو دینامیکی در حوزهی لاپلاس هستند. استفاده از تبدیل لاپلاس در الگوهای آئرو دینامیکی برای اولین بار توسط جونز پیشنهاد<sup>[۳]</sup> و سیرز از آن برای حل چند مسئله استفاده کرد.<sup>[۱]</sup> دسته‌ی سوم الگوهای آئرو دینامیکی در حوزهی زمان هستند که در آنها از تابع گرین<sup>۳</sup> با انتگرال کانولوشن برای رسیدن به پاسخ در حرکت دلخواه استفاده می‌شود. این الگو اولین بار توسط واگنر مورد استفاده قرار گرفت.<sup>[۴]</sup> او پاسخ صفحه‌ی تخت را با این روش محاسبه کرده و در این راه همانند تئودورسون جریان را دوبعدی و تراکم‌ناپذیر در نظر گرفت. دسته‌ی چهارم عبارت است از الگوهای حالات محدود<sup>۴</sup> که این الگوها از امتیازات ویژه‌ی برخوردارند. از جمله این که امکان شبیه‌سازی آئرو دینامیک را در

فضای حالتی که در برگیرنده‌ی سازه نیز هست فراهم می‌کنند که این امر ترکیب کامل روابط کنترلی و روابط مربوط به سیستم آئرو الاستیک و استفاده از آن در مسائل آئرو الاستیک<sup>۵</sup> را ممکن می‌کند. همچنین این الگوها دست‌یابی صریح<sup>۶</sup> به پاسخ را ممکن می‌سازند و دیگر نیازی به تکرار فرایند نخواهد بود. سومین مزیت این نوع الگوها انعطاف‌پذیری و قابلیت استفاده در هر سه حوزهی زمان، لاپلاس و فرکانس است.

الگوهای حالت محدود انواع مختلفی دارند. روش شبکه‌ی گردابه‌ی<sup>۷</sup> و روش‌های دینامیک سیالات عددی<sup>۸</sup> از جمله‌ی این الگوها هستند که تعداد حالات در آنها برابر با تعداد گره‌های شبکه‌ی گردابه‌ی و تعداد گره‌های الگوی  $CFD$  است. از جمله معایب الگوهای حالت محدود، عدم امکان تفسیر فیزیکی مستقیم است که در نتیجه به طور سیستماتیک و سلسله‌مراتبی قابل بهبود نیست.

در دیگر الگوهای حالت محدود که توسط محققان ارائه شده<sup>[۵]</sup> و<sup>[۶]</sup> از تقریب پد<sup>۹</sup> برای ارائه‌ی الگوی اختلاف محدود تابع آئرو دینامیکی برا در حوزهی فرکانس استفاده شده است. الگوی حالت محدود پیترز که در سال ۱۹۹۵ ارائه شده یکی دیگر از این نوع الگوهاست.<sup>[۱]</sup>

این الگو بدون فرض حرکت خاصی به دست آمده و برای هر حرکت دلخواه قابل

که در آن عناصر ماتریسهای  $D, d, b, c$  به شکل زیر تعریف می‌شوند:

$$D_{mn} = \begin{cases} \frac{1}{\tau_n} & , n = m + 1 \\ -\frac{1}{\tau_n} & , n = m - 1 \\ 0 & , n \neq m \pm 1 \end{cases}$$

$$b_n = \begin{cases} (-1)^{n-1} \frac{(N+n-1)!}{(N-n-1)!(n!)^2} & , n \neq N \\ (-1)^{n-1} & , n = N \end{cases}$$

$$d_n = \begin{cases} \frac{1}{\tau} & , n = 1 \\ 0 & , n \neq 1 \end{cases}$$

$$c_n = \frac{\tau}{n} \quad (7)$$

**۲.۲. تعیین ضریب برا برحسب فرکانس کاسته با استفاده از فرضیه آترویدینامیکی پیترز (با فرض حرکت خطی نوسانی برای مقطع معادل)**

در ادامه، با توجه به روابط استخراج شده توسط پیترز برای بارهای آترویدینامیکی، مقادیر حقیقی و موهومی «ضریب برا» برای حرکت خطی نوسانی  $\alpha = \dot{\alpha} = \lambda^n$  (برای حرکت خطی نوسانی  $\alpha = \dot{\alpha} = \lambda^n$ )  $\alpha = \dot{\alpha} = \lambda^n$ ،  $h = \bar{h}e^{i\omega t}$  به دست آمده است و در نتیجه معادله دیفرانسیلی رابطه‌ی ۵ به صورت رابطه‌ی ۸ ساده خواهد شد:

$$c\bar{h}\omega^2 e^{i\omega t} = \lambda \frac{U}{b} + \lambda \mathbf{A} \quad (8)$$

که جواب خصوصی آن عبارت خواهد بود از:

$$\bar{\lambda} = \bar{\lambda} e^{i\omega t}$$

$$\bar{\lambda} = -\omega^2 \bar{h} (i\omega \mathbf{A} + \frac{U}{b} \mathbf{I})^{-1} \mathbf{c}$$

$$-\bar{h} \cdot \frac{U}{b} \left( \frac{i}{k} \mathbf{A} + \frac{1}{k^2} \mathbf{I} \right)^{-1} \mathbf{c} \quad (9)$$

که در آن  $k = \frac{U}{b}$  است. با جای‌گذاری مقادیر مؤلفه‌های  $\lambda$  در رابطه‌ی ۴ مقدار  $\lambda_0$  و از آنجا مقدار نیروی برا از رابطه‌ی ۲ برحسب  $h$  به دست می‌آید. در نتیجه برای ضریب برا می‌توان نوشت:

$$C_L = \frac{L}{2\pi \frac{h}{U} \frac{1}{\tau} \rho U^2 2b} = \frac{k i}{\tau} + 1 +$$

$$\frac{1}{k i} \sum_{n=1}^N \sum_{m=1}^N b_n \left( \frac{i}{k} \mathbf{A} + \frac{1}{k^2} \mathbf{I} \right)^{-1}_{nm} c_m \quad (10)$$

منظور از  $x_{nm}^{-1}$  دریه واقع در سطر  $n$  ام و ستون  $m$  ام معکوس ماتریس  $x$  است. رابطه‌ی به دست آمده برای ضریب برا در مقایسه با رابطه‌ی تودورسون در حرکت خطی نوسانی خالص  $[C_L = \frac{ik}{\tau} + C(k)]^{[10]}$  برای  $N$ های مختلف رسم شده است که در بخش نتایج آمده است.

**۳.۲. تعیین ماتریسهای آترویدینامیکی با استفاده از فرضیه‌ی پیترز برای الگوی مقطع معادل**

در الگوسازی بال با استفاده از مقطع معادل دو درجه آزادی، یکی در راستای عمود بر جریان و دیگری پیچش بال در نظر گرفته می‌شود. در این حالت، معادلات دینامیکی

استفاده است. برخلاف الگوهای شبکه‌ی گردابه‌ی و روش‌های دینامیک سیالات عددی، حالت محدود در این روش به جای سرعت درگ‌ها، بسط جریان القا شده و ضریب به صورت صریح به دست می‌آید. همچنین می‌توان با انتخاب تعداد اندکی حالت محدود به دقت‌های مناسبی رسید. معادلات به دست آمده به راحتی قابل ترکیب شدن با معادلات سازه‌ی و کنترلی هستند و در حوزه‌های زمان، فرکانس و لاپلاس قابل استفاده‌اند.

در ادامه ضمن معرفی روابط حاکم در الگوی پیترز و با فرض حرکت رفت و برگشتی خالص، «ضریب برا» در حوزه‌ی فرکانس با استفاده از تعداد حالت‌های مختلف به دست آمده و نتیجه‌ی آن با «ضریب برا»ی تودورسون مقایسه شده است. همچنین پدیده‌ی فلاتر برای آترویدینامیکی با دو درجه آزادی (حرکت خطی و حرکت پیچشی)، با استفاده از روش‌های مختلف تعیین مرزهای پایداری مورد بررسی قرار گرفته و نتایج با مقادیر به دست آمده از الگوی تودورسون مقایسه شده است. نتایج نشان‌دهنده‌ی دقت کافی روش اختلاف محدود پیترز است (این دقت تنها با انتخاب پنج حالت محدود به دست آمده است).

## ۲. روابط حاکم

### ۲.۱. الگوی پیترز در حوزه‌ی زمان

براساس فرضیه‌ی آترویدینامیکی پیترز، و با فرض زوایای حمله‌ی کوچک خواهیم داشت: <sup>[1]</sup>

$$\alpha_\varepsilon = \alpha + \frac{\dot{h}}{U} + \frac{b}{U} \left( \frac{1}{\tau} - a \right) \dot{\alpha} - \frac{\lambda_0}{U} \quad (1)$$

که در آن  $\alpha_\varepsilon$  زوایای حمله‌ی معادل براساس بردار نسبی سرعت باد در فاصله‌ی  $\tau$  وتر،  $\lambda_0$  مقدار میانگین جریان القا شده به ایرفویل در جهت عمود بر خط با نیروی «برای» صفر، و  $ab$  فاصله‌ی محورکشسان از میانه‌ی مقطع بال است. در این حالت نیروی برا و گشتاور آترویدینامیکی با احتساب نیروهای مربوط به جرم جابه‌جا شده‌ی سیال در اثر حرکت ایرفویل به صورت رابطه‌های ۲ و ۳ خواهد بود: <sup>[1]</sup>

$$L = \pi \rho b^2 (\ddot{h} + U \dot{\alpha} - b a \ddot{\alpha}) +$$

$$2\pi \rho U b \left[ U \alpha + \dot{h} + b \left( \frac{1}{\tau} - a \right) \dot{\alpha} - \lambda_0 \right] M_{\frac{1}{2}} = -\pi \rho b^2 \left[ \frac{1}{\tau} \right. \quad (2)$$

$$\left. \ddot{h} + U \dot{\alpha} + b \left( \frac{1}{\lambda} - \frac{a}{\tau} \right) \ddot{\alpha} \right] \quad (3)$$

برای مقدار میانگین جریان القا شده  $\lambda_0$  با در نظر گرفتن تعداد  $N$  حالت جریان القا شده  $\lambda_1, \lambda_2, \dots, \lambda_N$  می‌توان نوشت:

$$\lambda_0 = \frac{1}{\tau} \sum_{n=1}^N b_n \lambda_n \quad (4)$$

با قرار دادن مقادیر مختلف  $\lambda_n$  در ماتریسی ستونی  $(\lambda)$ ،  $N$  معادله‌ی دیفرانسیلی معمولی درجه ۱ به دست خواهد آمد:

$$\mathbf{C} \left[ U \dot{\alpha} + \ddot{h} + b \left( \frac{1}{\tau} - a \right) \ddot{\alpha} \right] = \lambda \frac{U}{b} + \dot{\lambda} \mathbf{A} \quad (5)$$

ماتریس‌های به‌کار رفته در رابطه‌ی ۵ عبارت خواهند بود از:

$$\mathbf{A} = \mathbf{D} + \mathbf{d} \mathbf{b}^T + \mathbf{c} \mathbf{d}^T + \frac{1}{\tau} \mathbf{c} \mathbf{b}^T \quad (6)$$

حاکم بر بال به صورت رابطه‌ی ۱۱ خواهد بود:

$$\begin{bmatrix} m & S_{\alpha} \\ S_{\alpha} & I_{\alpha} \end{bmatrix} \begin{bmatrix} \ddot{h} \\ \ddot{\bar{\alpha}} \end{bmatrix} + \begin{bmatrix} k_h & 0 \\ 0 & k_{\alpha} \end{bmatrix} \begin{bmatrix} h \\ \bar{\alpha} \end{bmatrix} + \begin{bmatrix} L \\ -M_y \end{bmatrix} = 0 \quad (11)$$

که در حوزه‌ی فرکانس طبق رابطه‌ی ۱۲ خواهد بود:

$$-\omega^2 \begin{bmatrix} m & S_{\alpha} \\ S_{\alpha} & I_{\alpha} \end{bmatrix} \begin{bmatrix} \bar{h} \\ \bar{\alpha} \end{bmatrix} + i\omega \begin{bmatrix} k_h & 0 \\ 0 & k_{\alpha} \end{bmatrix} \begin{bmatrix} \bar{h} \\ \bar{\alpha} \end{bmatrix} + \begin{bmatrix} \bar{L} \\ -\bar{M}_y \end{bmatrix} = 0 \quad (12)$$

که:

$$\begin{aligned} m &= \int \mu dx, S_{\alpha} = \int x \mu dx = m b x_{\alpha}, \\ I_{\alpha} &= \int x^2 \mu dx = I_{CG} + m b^2 x_{\alpha}^2 \end{aligned} \quad (13)$$

با توجه به سهولت انجام محاسبات در حوزه‌ی فرکانس، قبل از جایگذاری مقادیر مربوط به  $L$  و  $M_y$  مقدار  $\lambda$  با فرض حرکت نوسانی ایرفویل  $\alpha = \bar{\alpha} e^{i\omega t}$  و  $h = \bar{h} e^{i\omega t}$  با حل معادله‌ی دیفرانسیل ۵ به دست می‌آید:

$$\begin{aligned} \bar{\lambda} &= [(i\omega)U\bar{\alpha} - \omega^2 \bar{h} - \\ &b \left( \frac{1}{\gamma} - a \right) \omega^2 \bar{\alpha}] \left( \mathbf{A} i \omega + \frac{U}{b} \mathbf{I} \right)^{-1} \mathbf{c} \end{aligned} \quad (14)$$

در نتیجه می‌توان نوشت:

$$\begin{aligned} \bar{\lambda}_0 &= \frac{b}{\gamma U} \left[ U i \left( \frac{kU}{b} \right) \bar{\alpha} - \left( \frac{kU}{b} \right)^2 \bar{h} - \right. \\ &\left. \left( \frac{kU}{b} \right)^2 b \left( \frac{1}{\gamma} - a \right) \bar{\alpha} \right] \sum_{n=1}^N \sum_{m=1}^N b_n \left( \mathbf{A} k i + \frac{U}{b} \mathbf{I} \right)_{nm}^{-1} c_m \end{aligned} \quad (15)$$

که با استفاده از روابط ۲ و ۳ در حوزه‌ی فرکانس رابطه‌ی ۱۶ حاصل خواهد شد:

$$\begin{aligned} \left| \begin{array}{c} \bar{L} \\ -\bar{M}_y \end{array} \right| &= -\omega^2 \pi \rho b^2 \\ \left| \begin{array}{cc} 1 - f(k) & -b a - b \left( \frac{1}{\gamma} - a \right) f(k) \\ \frac{b}{\gamma} + b \left( \frac{1}{\gamma} + a \right) f(k) - 1 & b^2 \left( a^2 + \frac{1}{\lambda} \right) + b^2 \left( \frac{1}{\gamma} - a^2 \right) f(k) \end{array} \right| \\ &\left| \begin{array}{c} \bar{h} \\ \bar{\alpha} \end{array} \right| + (i\omega) \gamma \pi \rho U b \\ &\left| \begin{array}{cc} 1 & b[1 - a - \frac{1}{\gamma} f(k)] \\ -b \left( \frac{1}{\gamma} + a \right) & b^2 [a \left( -\frac{1}{\gamma} + a \right) + \frac{1}{\gamma} \left( \frac{1}{\gamma} + a \right) f(k)] \end{array} \right| \left| \begin{array}{c} \bar{h} \\ \bar{\alpha} \end{array} \right| + \\ &\gamma \pi \rho U^2 b \left| \begin{array}{c} 1 \\ -b \left( \frac{1}{\gamma} + a \right) \end{array} \right| \left| \begin{array}{c} \bar{h} \\ \bar{\alpha} \end{array} \right| \end{aligned} \quad (16)$$

که در آن  $f(k)$  برابر است با:

$$f(k) = \sum_{n=1}^N \sum_{m=1}^N b_n \left( \mathbf{A} k i + \frac{U}{b} \mathbf{I} \right)_{nm}^{-1} c_m \quad (17)$$

با جایگذاری رابطه‌ی ۱۶ در رابطه‌ی ۱۲، معادله‌ی دینامیکی سیستم به دست خواهد آمد:

$$-\omega^2 [M + M_{\alpha}] \bar{x} + i\omega [C + C_{\alpha}] \bar{x} + [K + K_{\alpha}] \bar{x} = 0, \quad (18)$$

$$\bar{x} = \begin{bmatrix} \bar{h} \\ \bar{\alpha} \end{bmatrix}$$

در رابطه‌ی ۱۸ ماتریس‌های  $\mathbf{X}, \mathbf{K}, \mathbf{M}$  ماتریس‌های سازه‌یی، و ماتریس‌های  $\mathbf{M}_{\alpha}, \mathbf{K}_{\alpha}, \mathbf{C}_{\alpha}$  ماتریس‌های آئرو دینامیکی‌اند.

در ادامه، با دست‌یابی به معادله‌ی دینامیکی سیستم و نیز با استفاده از دو روش  $k$  و  $p - k$  به بررسی فلتر پرداخته شده که در بخش نتایج آمده است.

#### ۴.۲. تعیین ماتریس‌های آئرو دینامیکی با استفاده از فرضیه‌ی پیترز برای الگوی تیر

برای بررسی سیستم با فرض تیر و تعیین ماتریس‌های سازه‌یی و آئرو دینامیکی، خیز و پیچش تیر به صورت دو مجموع از مودهای خمشی و پیچشی تیر در نظر گرفته شده است:

$$w(y, t) = \sum_{i=1}^{N_w} \eta_i(t) w_i(y), \theta(y, t) = \sum_{i=1}^{N_{\theta}} \beta_i(t) \theta_i(y) \quad (19)$$

که در آن  $\theta_i$  و  $w_i$  مودهای پیچشی و خمشی، و  $N_{\theta}$  و  $N_w$  تعداد آنها هستند.  $\beta_i$  و  $\eta_i$  نیز مختصات تعمیم‌یافته هستند. برای مودهای خمشی و پیچشی تیر یک سرگردار می‌توان نوشت:

$$\theta_i(y) = \sqrt{\gamma} \sin(\gamma_i y), \gamma_i = \frac{\pi \left( i - \frac{1}{\gamma} \right)}{l} \quad (20)$$

$$\begin{aligned} w_i &= \cosh(\alpha_i y) - \cos(\alpha_i y) - \\ &\zeta_i [\sinh(\alpha_i y) - \sin(\alpha_i y)] \end{aligned} \quad (21)$$

که  $\alpha_i l$  ریشه‌های معادله‌ی زیر هستند:

$$\cos(\alpha l) \cosh(\alpha l) + 1 = 0 \quad (22)$$

متغیر  $\zeta_i$  نیز از رابطه‌ی زیر به دست خواهد آمد:

$$\zeta_i = \frac{\cosh(\alpha_i l) + \cos(\alpha_i l)}{\sinh(\alpha_i l) + \sin(\alpha_i l)} \quad (23)$$

که این مقادیر عبارت‌اند از:

$$\begin{aligned} (\alpha_i l, \zeta_i) &= (1.7875, 0.7334), (4.6944, 1.0118), \\ &(7.7854, 0.9999), \dots, \left( \frac{(2i-1)\pi}{\gamma}, 1 \right) \end{aligned} \quad (24)$$

جمله‌ی آخر در این رابطه برای مقادیر بالای  $i$  قابل قبول است. با استفاده از روش مودال و اعمال آن بر معادلات حاکم بر سازه، ماتریس‌های سازه‌یی به دست آمده عبارت خواهند بود از:

$$\begin{aligned} \mathbf{M}_s &= \begin{bmatrix} m \mathbf{I} & m b x_{\alpha} \mathbf{A}^T \\ m b x_{\alpha} \mathbf{A} & m b^2 x_{\alpha}^2 \mathbf{I} \end{bmatrix} \\ \mathbf{K}_s &= \begin{bmatrix} \frac{E I}{l^3} \mathbf{B} & 0 \\ 0 & \frac{G J}{l} \mathbf{T} \end{bmatrix} \end{aligned} \quad (25)$$

که ضرایب به کار رفته در آن طبق رابطه‌ی ۲۶ تعریف می‌شوند:

$$\begin{aligned} B_{ii} &= (\alpha_i l)^2, B_{ij} = 0 (i \neq j) \\ T_{ii} &= (\gamma_i l)^2, T_{ij} = 0 (i \neq j) \\ A_{ij} &= \frac{1}{l} \int \theta_i(\bar{y}) w_j(\bar{y}) dy \end{aligned} \quad (26)$$

$m = \mu l$  جرم بال ( $\mu$  جرم واحد طول و  $l$  طول بال است)،  $r$  شعاع ژیراسیون مقطع بال حول مرکز کشسان آن است. ماتریس‌های جرم، میرایی و سختی آئرو دینامیکی نیز با توجه به روابط ۲ و ۳، و با استفاده از روش مودال در نهایت به صورت رابطه ۲۸ به دست می‌آیند.

### ۳. بررسی ناپایداری

با توجه به غیرخطی بودن معادله‌ی مشخصه‌ی سیستم برحسب  $p$  ( $p = i\omega$ )، استفاده از روش  $k$  یا روش  $p - k$  مناسب است که در این مطالعه برای بررسی پایداری و تعیین سرعت فلاتر، مورد استفاده قرار گرفته‌اند. در روش  $k$  میرایی سازه‌یی به صورت ضریب ماتریس سختی سیستم در  $(1 + ig)$  فرض می‌شود که در نتیجه معادله‌ی دینامیکی سیستم با فرض حرکت نوسانی کامل به صورت مسئله‌ی مقدار ویژه‌ی زیر درمی‌آید:

$$\left[ (M_a + M_a) \left( \frac{k}{b} \right)^2 - \bar{C}_a \left( \frac{k}{b} \right) i - \bar{K}_a \right] \bar{q} = K \frac{1 + ig}{U^2} \bar{q} \quad (27)$$

با انتخاب مقادیر مختلف  $k$ ، مقادیر  $g$  و  $U$  به دست خواهند آمد که نقطه‌ی فلاتر متناظر با مقدار  $g = 0$  خواهد بود.

با توجه به این که در این روش مقادیر ماتریس‌های آئرو دینامیکی به‌ازای مقادیر حقیقی  $k$  به دست می‌آیند، این روش از پیچیدگی‌های محاسباتی کم‌تری برخوردار است؛ اما با توجه به فرض حرکت نوسانی کامل و در عین حال در نظر گرفتن میرایی در سیستم، پاسخ‌های به دست آمده برای مقادیر میرایی و فرکانس تنها در نقطه‌ی  $g = 0$  معتبر خواهند بود. همچنین از آنجا که بررسی پایداری تنها با انتخاب یک مقدار برای فرکانس  $k$  شروع می‌شود و مقدار سرعت مجهول است، این روش نیازمند فرایندی تکراری خواهد بود تا مقدار به دست آمده برای سرعت و عدد ماخ معادل با آن از محدوده‌ی معین، که نظریه‌ی آئرو دینامیکی به کار رفته تنها در آن محدوده معتبر است، خارج نشود و

$$\begin{aligned} M_a &= \pi \rho b^2 l \\ \begin{bmatrix} [1 - f(k)] \mathbf{I} & -b \left[ a + \left( \frac{1}{\bar{p}} - a \right) f(k) \right] \mathbf{A}^T \\ -b \left[ a - \left( \frac{1}{\bar{p}} + a \right) f(k) \right] \mathbf{A} & b^2 \left[ \left( a^2 + \frac{1}{\bar{p}} \right) + \left( \frac{1}{\bar{p}} - a^2 \right) f(k) \right] \mathbf{I} \end{bmatrix}, \\ C_a &= \\ 2\pi \rho U b l \begin{bmatrix} \mathbf{I} & b \left[ 1 - a - \frac{1}{\bar{p}} f(k) \right] \mathbf{A}^T \\ -b \left( \frac{1}{\bar{p}} + a \right) \mathbf{A} & -b^2 \left[ a \left( \frac{1}{\bar{p}} - a \right) - \frac{f(k)}{\bar{p}} \left( \frac{1}{\bar{p}} + a \right) \right] \mathbf{I} \end{bmatrix}, \\ K_a &= \\ 2\pi \rho U^2 b l \begin{bmatrix} 0 & \mathbf{A}^T \\ 0 & -b \left( \frac{1}{\bar{p}} + a \right) \mathbf{I} \end{bmatrix} \end{aligned} \quad (28)$$

در صورت بروز این حالت، ادامه‌ی بررسی با نظریه‌ی دیگری انجام شود. از این رو برای بررسی پایداری از روشی دیگر معروف به روش  $p - k$  استفاده خواهد شد. در این روش بارهای آئرو دینامیکی به صورت نوسانی کامل و تابعی از  $k$  خواهد بود و حرکت سازه به صورت نمایی در نظر گرفته می‌شود. در این حالت رابطه‌ی زیر با انتخاب مقدار اولیه برای  $k$ ،  $U$  حل می‌شود.

$$\left[ p M_a + \frac{b^2}{U^2} K_a - Q(k) \right] = 0 \quad (29)$$

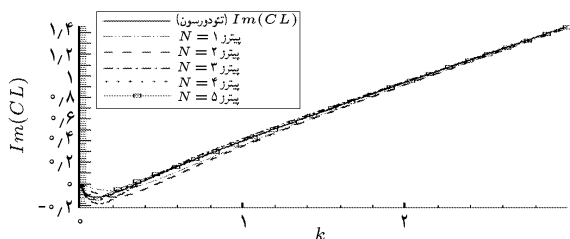
چنانچه قسمت موهومی یکی از مقادیر به دست آمده برای  $p$  برابر با مقدار  $k$  باشد، مقادیر به دست آمده برای  $p$  معتبر خواهند بود؛ و در غیر این صورت رابطه‌ی ۲۸ برای مقادیر دیگری از  $k$  حل خواهد شد تا این برابری حاصل شود. در نهایت با رسم قسمت حقیقی  $p$  برحسب سرعت ( $U$ )، سرعت فلاتر به دست خواهد آمد. با توجه به این که این روش با انتخاب مقادیر اولیه برای  $U$ ،  $k$  شروع می‌شود، برای تحلیل مسائل در محدوده‌ی تراکم‌پذیر وابسته به عدد ماخ نیست. همچنین مقادیر به دست آمده برای میرایی و فرکانس معتبرتر از روش  $k$  است.

### ۴. نتایج

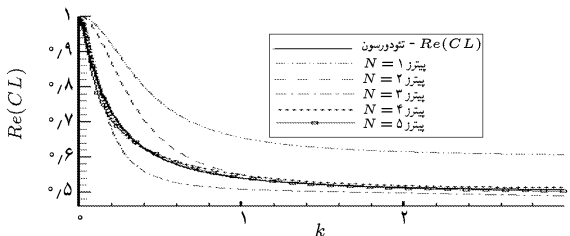
در این قسمت نتایج روش به کار گرفته شده برای شبیه‌سازی آئرو دینامیک در دو بخش آئرو دینامیک ناپایا و بررسی ناپایداری آئرو الاستیک بررسی خواهد شد.

#### ۱.۴. مقایسه‌ی ضریب برا با فرض حرکت خطی نوسانی ایرفویل، با نتایج حاصل از روش پیترز

در این قسمت نمودار ضریب برا برحسب فرکانس کاسه شده برای  $N$  های مختلف رسم شده است. در هر مورد نمودار حاصله با نمودار «ضریب برا» حاصل از فرضیه‌ی تودورسون مقایسه شده است (شکل الف و ب). همان‌طور که از نمودارهای بالا مشخص است برای حالت  $N = 5$ ، نمودار به دست آمده از هر دو فرضیه مطابقت زیادی با هم دارند. از این رو در ادامه‌ی

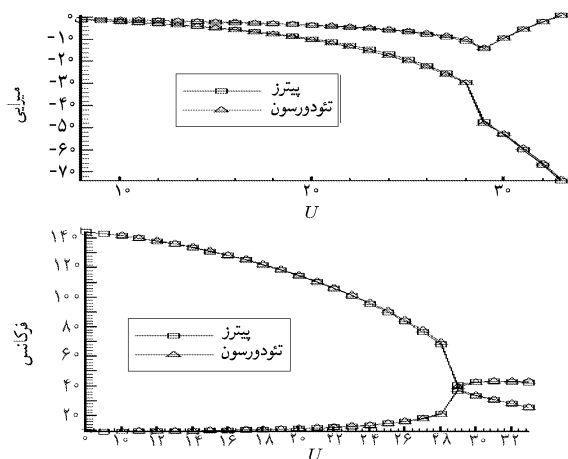


الف) نمودار قسمت حقیقی  $C_L$  برحسب  $k$  به دست آمده از فرضیه پیترز و تودورسون؛

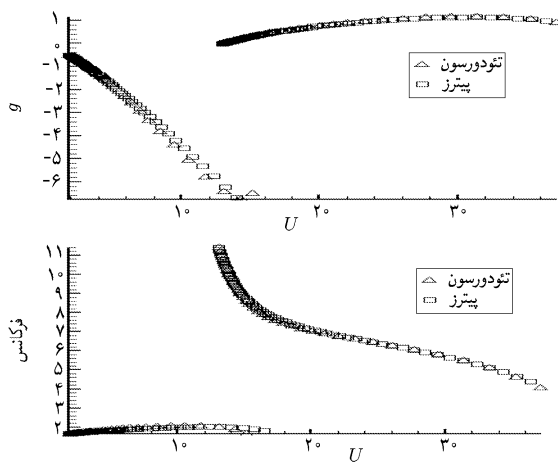


ب) نمودار قسمت موهومی  $C_L$  برحسب  $k$  به دست آمده از فرضیه پیترز و تودورسون.

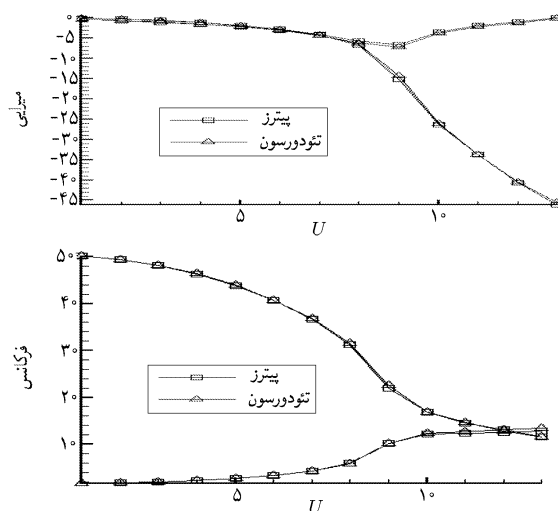
شکل ۱. مقایسه مقادیر ضریب برا، حاصل از روش تودورسون و پیترز با تعداد  $N$  های مختلف.



شکل ۳. مقایسه فرکانس و میرایی بر حسب سرعت با استفاده از دو نظریه برای بال نمونه ۱ (روش  $k-p$ ).



شکل ۴. مقادیر فرکانس و میرایی بر حسب سرعت با استفاده از دو نظریه برای بال نمونه ۲ (روش  $k$ ).



شکل ۵. مقادیر فرکانس و میرایی بر حسب سرعت با استفاده از دو نظریه برای بال نمونه ۲ (روش  $k-p$ ).

مطالعه از این مقدار برای بررسی فلاتر با استفاده از آنرودینامیک پیترز و مقایسه‌ی آن با فرضیه‌ی تودورسون استفاده شده است.

## ۲.۴. مقایسه‌ی سرعت فلاتر به دست آمده با استفاده از فرضیه‌ی

### تودورسون و پیترز

به منظور بررسی فلاتر با فرض الگوی مقطع معادل از یک بال نمونه با مشخصات ارائه شده در جدول ۱ استفاده شده است. نتیجه‌ی به دست آمده برای سرعت فلاتر با بارهای آنرودینامیکی پیترز با مقدار به دست آمده با بارهای آنرودینامیکی تودورسون (جدول ۲)، حاکی از یک همخوانی خوب بین دو فرضیه است.

نمودار مقادیر به دست آمده برای میرایی و فرکانس بر حسب سرعت در شکل‌های ۲ و ۳ برای روش‌های  $k$  و  $k-p$  رسم شده است. نمودارهای حاصله نشان‌دهنده‌ی تطابق نتایج به دست آمده از دو فرضیه‌اند. به منظور مقایسه‌ی دو فرضیه، سرعت فلاتر برای یک بال سه‌بعدی با طول  $l = 3m$  با استفاده از فرض تیر برای بال محاسبه شده است. مشخصات بال در جدول ۳ آمده است.

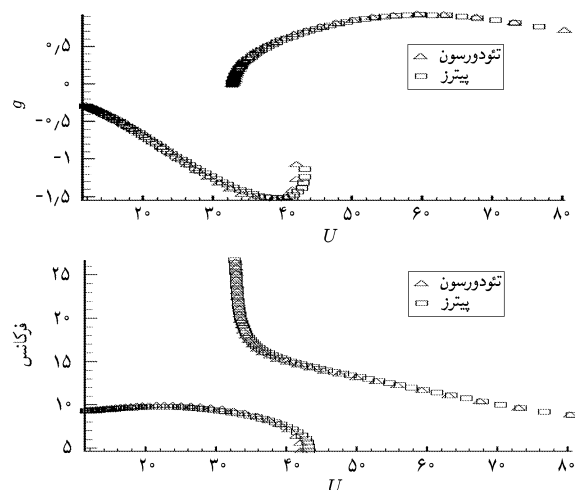
با توجه به جدول ۴، سرعت فلاتر به دست آمده از هر دو فرضیه از نزدیکی قابل قبولی برخوردارند که بار دیگر دقت روش پیترز را اثبات می‌کند. در شکل‌های ۴ و ۵ نمودار مقادیر میرایی و فرکانس به دست آمده از دو فرضیه با استفاده از روش  $k$  و  $k-p$  بر حسب سرعت رسم شده است که انطباق بالای نتایج دو فرضیه را نشان می‌دهد.

جدول ۱. مشخصات بال نمونه ۱.

$\rho$	$1225 kg/m^3$	$m$	$196 kg$
$I_a$	$0.126 kg/m^2$	$k_b$	$1962 N/m^2$
$k_\theta$	$2564 N/m^2$	$x_{cx}$	$0.4$
$c = 2b$	$1.83 m$	$a$	$-0.2$

جدول ۲. سرعت فلاتر بال نمونه با فرض مقطع معادل.

نظریه آنرودینامیکی مورد استفاده	سرعت فلاتر با استفاده از روش $k-p$	سرعت فلاتر با استفاده از روش $k(U_F)$
فرضیه تودورسون	$33 (m/s)$	$32.77 (m/s)$
فرضیه پیترز	$33 (m/s)$	$32.64 (m/s)$



شکل ۶. مقایسه فرکانس و میرایی بر حسب سرعت با استفاده از دو نظریه برای بال نمونه ۱ (روش  $k$ ).

جدول ۳. مشخصات بال نمونه‌ی ۲.

$\rho$	$1.225 \text{ kg/m}^3$	$m$	$6.53 \text{ kg/m}$
$I$	$0.42 \text{ kg/m}$	$EI$	$159 \text{ N/m}^2$
$GJ$	$1039 \text{ N/m}^2$	$x_{\alpha}$	$0.4$
$c = 2b$	$1.83 \text{ m}$	$a$	$-0.2$

جدول ۴. سرعت فلاتر بال نمونه با فرض تیر.

نظریه آئرو دینامیکی مورد استفاده	سرعت فلاتر با استفاده از روش $p - k$	سرعت فلاتر با استفاده از روش $k$
فرضیه تئودورسون	$14 \text{ (m/s)}$	$13 \text{ (m/s)}$
فرضیه پیترز	$14 \text{ (m/s)}$	$13.02 \text{ (m/s)}$

## ۵. نتیجه‌گیری

ضریب برا در حوزه‌ی فرکانس براساس الگوی آئرو دینامیکی پیترز، برای حرکت خطی نوسانی به دست آمد. رابطه‌ی به دست آمده از طریق رسم نمودار قسمت حقیقی و موهومی ضریب برا برحسب  $k$  با مقادیر به دست آمده از فرضیه‌ی تئودورسون مقایسه شد. نمودارهای حاصله بیانگر افزایش نزدیکی نتایج روش پیترز به روش تئودورسون با افزایش تعداد  $N$  است، به طوری که برای تعداد  $N = 5$  تطابق قابل قبولی بین نتایج وجود دارد. در ادامه، روابط مربوط به ماتریس‌های جرم، میرایی و سختی آئرو دینامیکی الگوی پیترز به دست آمد. برای استخراج این ماتریس‌ها از دو روش متداول مقطع معادل و فرض تیر، برای الگوسازی بال استفاده شد. در پایان، با توجه به معادلات دینامیکی به دست آمده از هر دو روش الگوسازی، سرعت فلاتر برای دو مثال عددی با استفاده از روش  $k$  و  $p - k$  محاسبه شد. نتایج

حاصله با مقادیر به دست آمده از فرضیه‌ی تئودورسون مقایسه شد که نزدیکی قابل توجهی بین دو فرضیه ملاحظه می‌شود.

## فهرست علائم

- $\omega$ : فرکانس حرکت بال و تغییرات بارهای آئرو دینامیکی
- $U$ : سرعت جریان آزاد یکتوانخت
- $\rho$ : چگالی جریان آزاد
- $C_L$ : ضریب برا
- $L, M_y$ : نیرو و گشتاور آئرو دینامیکی حول محور کشسان
- $\lambda_0$ : میانگین جریان القا شده
- $m$ : جرم بال
- $t$ : زمان
- $M, M_a$ : ماتریس جرم سازه‌ی و آئرو دینامیکی
- $K, K_a$ : ماتریس سفتی سازه‌ی و آئرو دینامیکی
- $C_a$ : ماتریس میرایی آئرو دینامیکی
- $y$ : فاصله از ریشه بال در راستای طولی بال
- $w, \theta$ : حرکت پیچشی و خمشی بال با فرض تیر
- $h, \alpha$ : حرکت پیچشی و خمشی بال با فرض مقطع معادل
- $E$ : مدول کشسانی
- $G$ : مدول برشی
- $l$ : طول بال
- $b$ : نصف اندازهی پهنای بال
- $I$ : ممان اینرسی خمشی مقطع تیر
- $J$ : ممان اینرسی قطبی مقطع تیر
- $\mathbf{I}$ : ماتریس همانی
- $ab$ : فاصله‌ی میانه‌ی مقطع بال از محور الاستیک

## بیانوشتم

1. vorticity
2. theodorsen
3. green's function
4. finite state
5. aero-servo-elastic
6. explicit
7. vortex lattice
8. CFD
9. pade
10. pure plunging

## منابع

1. Peters, David A. "Finite state induced flow models", *Journal of Aircraft*, **32**(2), (March-April 1995).
2. Theodorsen, T.E., "General theory of aerodynamic instability and the mechanism of flutter", *NACA Rept.* **496**, pp. 413-433 (May 1934).

3. Jones, R.T. "Operational treatment of the nonuniform lift theory to airplane dynamics", *NACA TN*, **667**, pp. 347-350 (March 1938).
4. Sears, W.R., "Operational methods in the theory of airfoils in nonuniform motion", *Journal of the Franklin Institute*, **230**, pp. 95-111 (July 1940).
5. Wagner, H. "Ueber die entstehung des dynamischen auftriebs von tragflugeln", *ZAMM*, *Bd.* **5**(Heft 1), pp. 17-35 (Feb 1925).
6. Vepa, R. "On the use of pade approximants to represent unsteady aerodynamic loads for arbitrarily small motions of wings", *AIAA Paper*, 76-17, (Jan. 1976).
7. Dowell, E.H., "A simple method for converting frequency domain aerodynamics to the time domain", *NASA TM*, 81844 (Oct 1980).
8. Hodges, D.H. and Pierce, G.A. "Introduction to structural dynamics and aeroelasticity", Cambridge University Press (2002).
9. Bisplinghoff, R.L.; Ashley, H. and Halfman R.L. "Aeroelasticity", Addison-Wesley Publishing Co., Inc. (1955).
10. Katz, J. and Plotkin, A. "Low-speed aerodynamics from wing theory to panel methods", 2nd edition, Cambridge, New York (2001).